

九州工業大学 正員 ○渡辺義則
 三井不動産建設 永田智秀
 東京大学 正員 角知憲

1. まえがき これまで本報で用いる騒音予測計算モデル(線形モデルと仮称)の特徴及び基本的な考え方を提示し、併せて、モデルの現実への適用性を検討してきた^{1,2,3,4}。とくに前報では線形モデルを将来予測などに幅広く利用するためには道路区間の音の伝搬特性を類型化する方法を示したが、更にここでは、道路総断面配の影響を考慮しつつ、道路周辺環境が変化した場合や類似の道路周辺環境と思われる道路区間にこの方法を適用し伝搬特性が安定した関数で表現可能か否かを検討した。

2. 騒音並びに交通特性の測定 道路構造として平坦、盛土、切土、高架があるが、本報告では平坦道路区間を対象にした。表-1に実験条件と交通特性を、図-1に騒音測定位置の一例を示す。金ヶ崎・久山西町の測定場所はともに郊外の対向2車線の国道である。また、現場付近の道路の線形はほぼ直線であり、測定側は勿論のこと反対側にも構造物はないと考えてよい。表-1によると、道路周辺環境の変化には同一の道路区間で測定時期をずらすことに対処した。図-1のM1～M4は精密騒音計のマイク設定位置(観測点)である。高さは道路表面から25cmの所にした。なお、観測点近くの車線をLANE1、遠い車線をLANE2とした。ま

表-1 実験条件と交通特性

測定 ケース	道路周 辺環境	測定 場所	総断 面配	時間交通量 V.P.H.		大型車混入率 %		平均速度 km/h	
				LANE1	LANE2	LANE1	LANE2	LANE1	LANE2
KJ	6月下旬の水 田、苗80cm	金 ヶ 崎 町	LANE2 上り 1.2%	218～541 (315)	197～439 (297)	10～44 (29)	2～46 (23)	53.9	51.8
KA	8月初旬の田 圃、稻60cm			225～432 (327)	239～345 (296)	20～48 (31)	25～39 (32)	53.9	51.8
KN	11月初旬の田 圃、刈入れ後			291～475 (382)	299～489 (396)	9～42 (22)	10～27 (21)	40.7	46.3
HU	8月下旬の田 圃、稻80cm	久 山 町	LANE1 上り 1.9%	250～359 (313)	204～334 (289)	30～56 (43)	36～61 (46)	50.7	48.7

種類に分けた。
注) () 内は12回のデータの平均値

3. 対象道路区間の音の伝搬特性の推定と騒音予測精度 図-2は表-1の各測定ケースの音の伝搬特性を表す曲線である。その算出手順は既に提示しているが^{2)～4)}、以下に簡単にまとめろ。①両車線上を走行する車両の音響出力を入力、観測点の音の強さを出力とする2入力1出力の定係數線形系を考え、ランダムデータの統計的処理手法(データ長1024秒、サンプリング時間2秒)を援用して車線別に荷重関数の推定値を時間毎数として求める。②各測定ケースにつき、観測点別、車線別に6ヶ所の荷重関数を推定後、荷重関数の時間毎に亘する平均値を求める。併せて、各時間の音源と観測点間の距離 r を求める。③ $y = a r^b$ の関数型を仮定して回帰分析し、音の伝搬特性を表すパラメータ a , b を決定する。

図-2には破線で車線別の回帰直線を、また、実線で両車線合計での回帰直線をプロットしている。また、

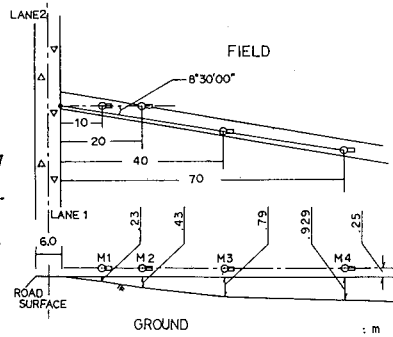


図-1 騒音測定位置(KJ, KA)

回帰直線式は実線に対応するものであり、相関係数は0.93～0.99と高く、仮定した関数型が妥当であることを示している。なお、道路縦断勾配の補正をして“る”ので、これらの直線は水平路での音の伝搬特性を表わす。これから、KJとKNの結果にはほとんど差がなく、水田と刈入れ後の音の伝搬特性に有意な差はないといつて判断してよい。KJとKNに比べてKAの結果は生長した稻の影響が現われ、音の減衰が大きい。稻が生育した田園と水田刈入れ後の田園では音の伝搬特性に差があると判断される。KAとHUは異なった道路区間での結果でみるが、周辺環境が類似しているので両者の回帰式は比較的近い値を示す。しかし、HUは車線別回帰分析結果がKJ、KA、KNのそれに比べて離れて“る”原因は明らかでない。

図-3は推定したパラメータa, bを用いて騒音を予測し、実測値と比較した結果の一例である。なお、騒音レベルの瞬時値の最低値を騒音者レベルとし、対象道路区間の沿道状況から1.17～14秒の荷重閾数の値は零と仮定した。以前の報告と異なる点は、車種を2種に分類し、大型車類を1.6、それ以外を1.6の乗用車類に換算したことと、パワーレベルの算定時に土木の公配補正を行ったことである。

以上の結果をまとめると、①平坦部道路区間の音の伝搬特性は、荷重閾数の推定値 γ 、音源と観測点間の距離 r 、伝搬特性によって異なるパラメータa, bによって $\gamma = a + b/r$ の関数型で比較的精度よく表わすことができる。②音の伝搬特性を荷重閾数という形で実測によって求めれば、異なる周辺環境、あるいは、類似した周辺環境をもつ道路区間ににおける音の伝搬特性がパラメータa, bによって類型化される可能性がある。③道路上を走行する車両のパワーレベルの算定時に、土木の道路縦断勾配について、土木(db(A))の補正をしたが、比較的小さな公配の所では、対象道路区間の音の伝搬特性を類型化するうえで有用と思われる。④音の伝搬特性を類型化できれば、パラメータa, bの値を用いて、 L_{eq} , L_{10} , L_{50} の各種評価量が比較的よい精度で予測可能と考えられる。

今後、沿道付近に家屋が存在する場合、マイクの高さをかえて地表面性状の影響を変化させた場合などについて検討し、これらの要因がパラメータa, bに与える影響を明らかにしたいと考えている。

終りに、本研究に御援助いただいた松尾設計 村田真翁氏、北川市 上田浩氏に深謝します。

- 1)渡辺他；任意に変動する道路交通流からの騒音の予測に関する一考察、交通科学、昭和56年
- 2)渡辺他；任意に変動する道路交通流を用いての騒音伝搬特性の推定法、交通工学、昭和57年
- 3)渡辺他；線形モデルによる道路交通騒音の予測、第36回土木学会年次学術講演会概要集Ⅲ
- 4)渡辺他；“” “” (第2報), 第37回 “” “”

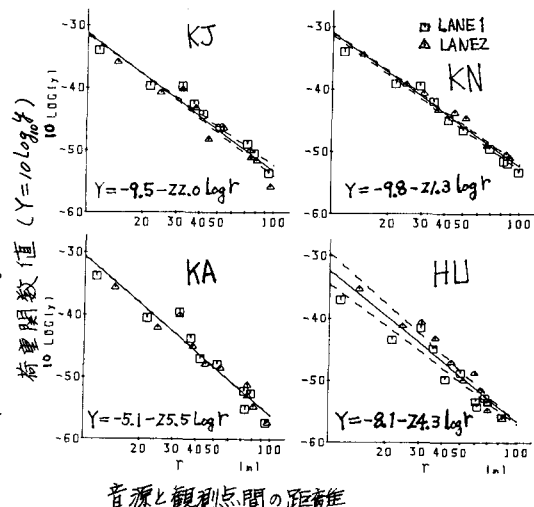


図-2 各測定ケースの音の伝搬特性

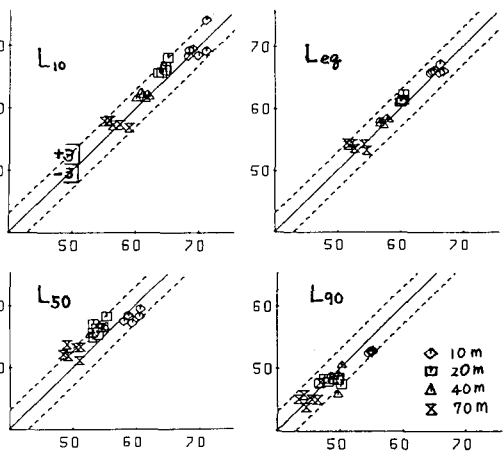


図-3 実測値と予測値の比較(KA)